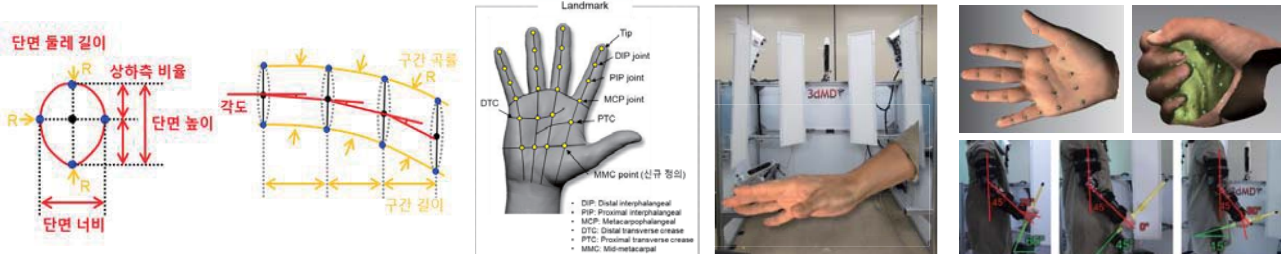




# 손목 동작(Adduction/Abduction)에 따른 Power Grip 내부 형상 변화 측정 및 분석



정하영<sup>1</sup>, 문수진<sup>1</sup>, 이원섭<sup>2</sup>, 오지현<sup>1</sup>, 김효진<sup>3</sup>, 유희천<sup>1</sup>

<sup>1</sup> 포항공과대학교 산업경영공학과

<sup>2</sup> 한동대학교 ICT창업학부

<sup>3</sup> 휴머노피아 제품개발팀

Global Contributor to Eco-Techno-Humanopia

## Contents

- 연구 배경 및 필요성
- 연구 목적
- 연구 방법
  - Hand-handle interface 분석
  - Power grip 형상 측정 protocol
- 연구 결과
  - Static vs. Dynamic hand 형상 분석
  - 손목 자세별 hand dimension 분석
- 토의



# 연구 배경

- Handle은 작업의 효율성을 높이기 위한 도구로 사용 목적 및 환경에 따라 다양한 형태로 설계됨
- 인간공학적 handle 개발을 위해 손 형상, grip 자세 및 사용 작업 등에 대한 세부 분석이 필요함



Drill



초음파 probe



청소기 handle

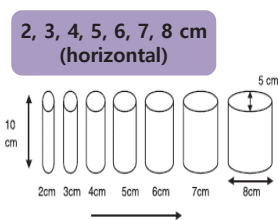
## 기존 Handle 설계 연구: 최적 형상 도출

- 최적 handle 형상 도출을 위해 2 ~ 8 level의 diameter 및 단면 형상에 대하여 객관적(EMG, grip force 등), 주관적 평가를 수행함 (Cuijpers et al., 2004; Dong et al., 2007; Herring et al., 2011; Kong and Lowe, 2005)

Various handle diameters



Kong and Lowe, 2005

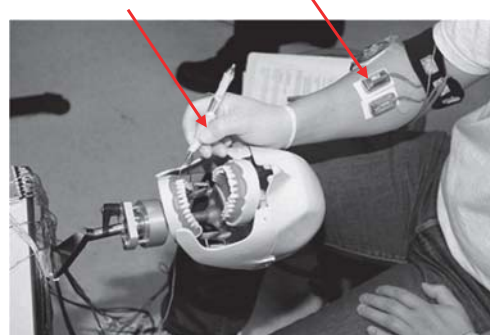


Cuijpers, 2004

Ergonomic evaluation of scaling hand tool

Pressure sensor

EMG sensor



Dong et al. (2007)

8 different shapes

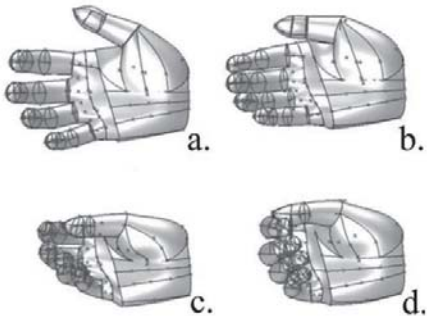


Herring, 2011

# 손 형상 분석 연구

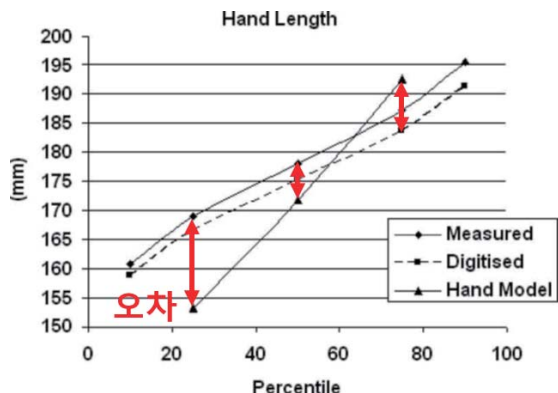
- Rogers et al. (2008)는 grip을 고려한 hand dimension 측정을 위해 4가지 hand posture 및 66개의 hand landmark를 정의함
- 3D software를 이용하여 representative & scalable hand model을 개발하고 4가지 posture별 hand dimension을 측정함

Hand postures & landmarks (Rogers et al., 2008)



Posture A: fingers in relaxed extension and abduction (holding a large ball) (n = 100).  
Posture B: fingers in relaxed extension in addition (holding a mouse) (n = 100).  
Posture C: chuck pinch posture with 2.2 cm ring between tips of digits 1, 2 and 3 (n = 100).  
Posture D: hand in a power grip posture, similar to holding a tube of approximately 4 cm diameter (n = 20).

Errors between digital and real hand dimensions



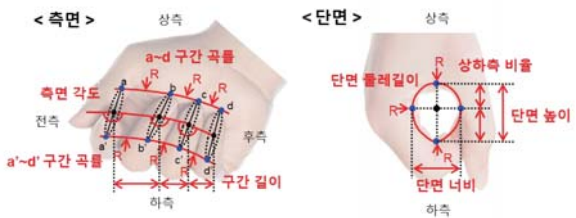
## 기존 연구의 한계점

- 기존 handle 설계 연구는 정적인 상황(shoulder: 0°, elbow: 90°)에서 extruded cylindrical handle을 대상으로 평가를 수행하여 실제 제품 사용 환경의 고려는 부족함
- 손 내측 형상 분석 연구는 추정된 3D hand model을 이용하여 hand dimension들의 치수를 추정하였으나 실측 값과의 오차가 크고 정확도가 낮음
- 제품의 design dimension과 hand dimension의 관계 규명이 부족함
- Handle을 사용하는 동적 상황(동작, 자세변화)에서의 손 형상 측정 연구는 부재함

## 손목 동작에 따른 Power Grip 내부 형상 측정 및 분석 방법 개발

### 1. Hand-handle Interface 분석

- Hand landmark, dimension 정리
- Handle dimension 정의
- Hand 및 handle 유관 dimension 선정



### 2. 손목 동작별 power grip 형상 측정 및 분석

- 손목 자세별 3차원 power grip 형상 측정 실험
- 3차원 hand scan data processing
- Hand dimension 측정 및 분석



## 연구 절차

### S1. Hand-handle interface 분석

- Handle dimension 선정
- Hand dimension 선정
- Handle 유관 hand dimension 도출

### S2. Power grip 형상 측정 protocol

- 손목 자세 및 power grip 선정
- 30명 대상 hand 3차원 scan 및 casting
- Hand scan data post-processing

### S3. 손목 자세별 power grip 형상 측정 실험

- Static, dynamic hand posture 측정
- Neutral 자세 대비 AD/AB시 손 형상 측정

### S4. 손목 자세별 power grip 형상 변화 분석

- 손목 자세별 hand dimension 측정 결과
- Handle design 적용 예시

# Hand-handle Interface 분석 절차

## S1-1. Handle design dimension 파악

- Handle 설계 필요 인자 파악
- 설계 중요도 선정

## S1-2. Handle 설계 기준점/기준선 정립

- 기준점/기준선 정의
- 정면, 측면, 평면 형상 파악
- 둘레길이, 폭/너비, 각도, 곡률  
설계인자 정의

## S1-3. Hand-handle interface 분석

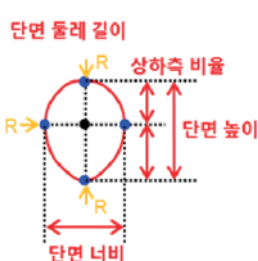
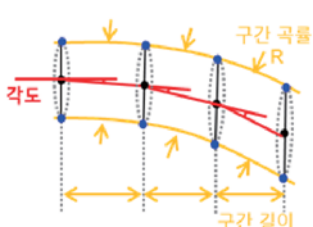
- Handle 위치 범위 파악
- 유관 hand-handle dimension matching

## S1-4. 주요 hand-handle 인자 선정

- Hand-handle 상호 유관  
인자 최종 선정

## Handle Design Dimension

- 디자인 및 인간공학 전문가의 의견을 따라 handle 설계 인자별 중요도가 평가됨
  - 평가 기준: 설계 인자 변화 시 사용자가 느끼는 사용성, 감성에 미치는 영향의 정도
- 중요도 '상', '중'에 해당하는 11종의 주요 설계 인자가 선정됨



View	설계 인자	필수/선택	선정
단면	길이	필수	o
	너비	필수	o
	높이	필수	o
	둘레길이	필수	o
곡률	상하축 길이 비율	필수	o
	상축 점 곡률	선택	o
	하축 점 곡률	선택	o
	좌우축 점 곡률	선택	o
	상축 구간 곡률	선택	o
측면	길이	구간 길이	선택
	곡률	측면 상축 점 곡률	선택
		측면 상축 구간 곡률	선택
		측면 상축 평균 곡률	선택
	각도	측면 하축 점 곡률	선택
		측면 하축 구간 곡률	선택
		측면 하축 평균 곡률	선택
		단면 중심 사이 각도	필수
			o

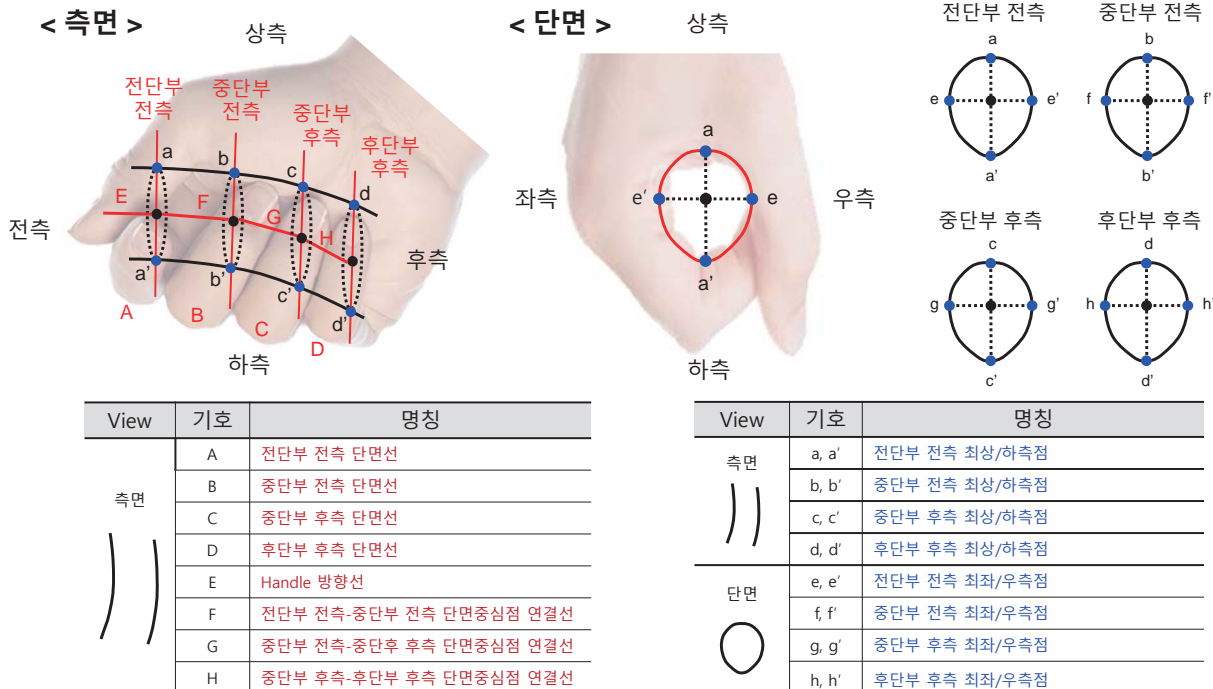
필수 선정

일부 선정

필수 선정

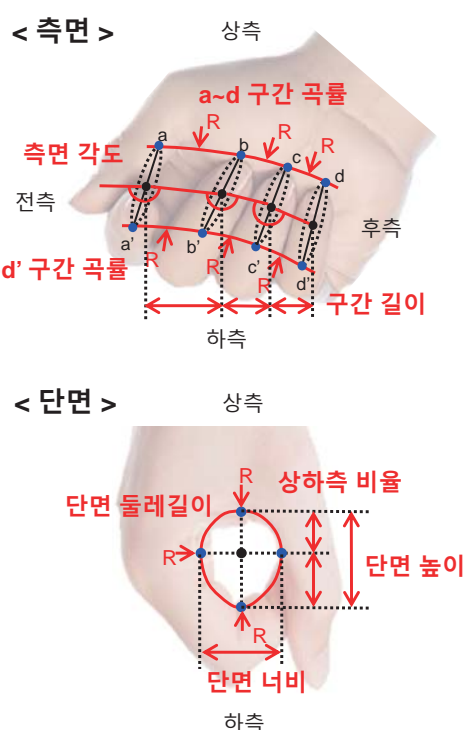
# Handle 설계 기준점/기준선 정립 (1/2)

- Handle 파지 시 각 손가락을 따라 handle을 4개의 단면선으로 구분하고 각 단면의 특징점을 기준점으로 선정함(기준점 16개, 기준선 8개)



# Handle 설계 기준점/기준선 정립 (2/2)

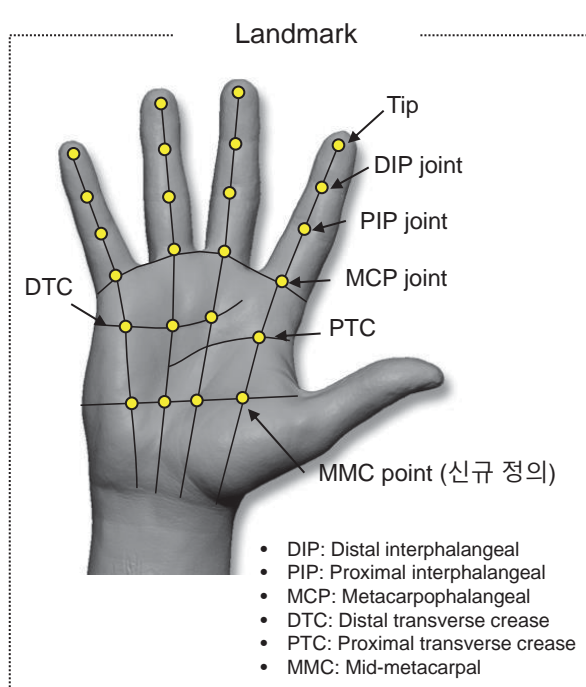
- 정립된 기준점과 기준선을 기반으로 총 40개 설계 인자를 정립함



No.	View	설계인자	Image	기준점/선	설명
1	단면	전단부 전측 단면 높이		a (전단부 전측 최상측점) a' (전단부 전측 최하측점)	기준점 a, a' 사이의 직선거리
2	단면	중단부 전측 단면 높이		b (중단부 전측 최상측점) b' (중단부 전측 최하측점)	기준점 b, b' 사이의 직선거리
3	단면	중단부 후측 단면 높이		c (중단부 후측 최상측점) c' (중단부 후측 최하측점)	기준점 c, c' 사이의 직선거리
4	단면	후단부 후측 단면 높이		d (후단부 후측 최상측점) d' (후단부 후측 최하측점)	기준점 d, d' 사이의 직선거리
5	단면	전단부 전측 단면 너비		e (전단부 전측 최좌측점) e' (전단부 전측 하좌측점)	기준점 e, e' 사이의 직선거리
6	단면	중단부 전측 단면 너비		f (중단부 전측 최좌측점) f' (중단부 전측 하좌측점)	기준점 f, f' 사이의 직선거리
7	단면	중단부 후측 단면 너비		g (중단부 후측 최좌측점) g' (중단부 후측 하좌측점)	기준점 g, g' 사이의 직선거리
8	단면	후단부 후측 단면 너비		h (후단부 후측 최좌측점) h' (후단부 후측 하좌측점)	기준점 h, h' 사이의 직선거리

# Hand Landmarks & Dimensions

- Hand 및 handle dimension 분석을 위한 hand landmark 총 24개 및 hand-handle dimension 총 40개를 선정함(Greiner, 1991; Hidson, 1991, Lee et al., 2018, Yun, 2013)

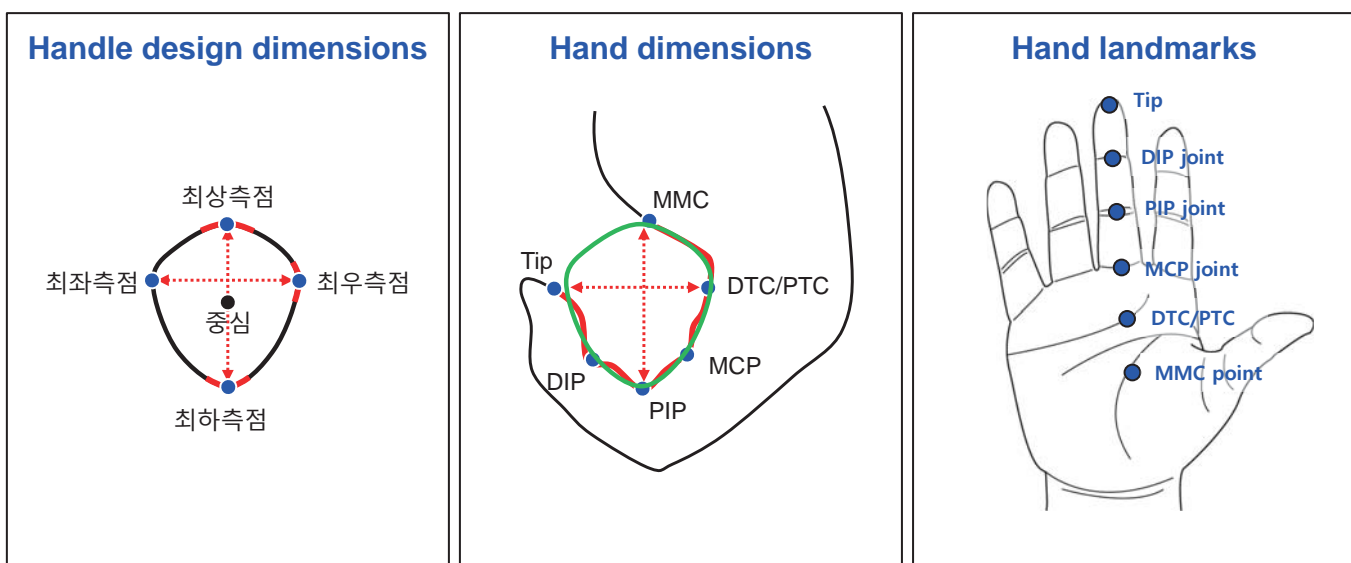


View	설계 인자	Hand 연관
길이	천단부 전축 단면 너비	Digit 2 tip to PTC
	중단부 전축 단면 너비	Digit 3 tip to DTC
	중단부 후축 단면 너비	Digit 4 tip to DTC
	중단부 후축 단면 높이	Digit 5 tip to DTC
	천단부 전축 단면 높이	Digit 2 PIP joint to MMC point
	중단부 전축 단면 높이	Digit 3 PIP joint to MMC point
	중단부 후축 단면 높이	Digit 4 PIP joint to MMC point
	중단부 후축 단면 높이	Digit 5 PIP joint to MMC point
	중단부 후축 단면 높이	Digit 2 내측 단면 둘레길이
	천단부 전축 둘레길이	Digit 3 내측 단면 둘레길이
곡률	중단부 전축 둘레길이	Digit 4 내측 단면 둘레길이
	중단부 후축 둘레길이	Digit 5 내측 단면 둘레길이
	천단부 전축 상하축 길이 비율	Digit 2 내측 높이선 및 너비선 교차점 기준 상축 길이 : 하축 길이
	중단부 전축 상하축 길이 비율	Digit 3 내측 높이선 및 너비선 교차점 기준 상축 길이 : 하축 길이
	중단부 후축 상하축 길이 비율	Digit 4 내측 높이선 및 너비선 교차점 기준 상축 길이 : 하축 길이
	중단부 후축 상하축 길이 비율	Digit 5 내측 높이선 및 너비선 교차점 기준 상축 길이 : 하축 길이
	천단부 전축 상축점 곡률	Digit 2 MMC point 주변 곡률
	중단부 전축 상축점 곡률	Digit 3 MMC point 주변 곡률
	중단부 후축 상축점 곡률	Digit 4 MMC point 주변 곡률
	중단부 후축 상축점 곡률	Digit 5 MMC point 주변 곡률
측면	천단부 전축 하축점 곡률	Digit 2 PIP joint 주변 곡률
	중단부 전축 하축점 곡률	Digit 3 PIP joint 주변 곡률
	중단부 후축 하축점 곡률	Digit 4 PIP joint 주변 곡률
	중단부 후축 하축점 곡률	Digit 5 PIP joint 주변 곡률
	천단부 전축 좌우축점 곡률	Digit 2 PTC 주변 곡률
	중단부 전축 좌우축점 곡률	Digit 3 DTC 주변 곡률
	중단부 후축 좌우축점 곡률	Digit 4 DTC 주변 곡률
	중단부 후축 좌우축점 곡률	Digit 5 DTC 주변 곡률
	천단부 측면 구간 길이	Digit 2~3 내측 단면 중심 사이 수평 길이
	중단부 측면 구간 길이	Digit 3~4 내측 단면 중심 사이 수평 길이
각도	중단부 측면 구간 길이	Digit 4~5 내측 단면 중심 사이 수평 길이
	천단부 측면 상축 구간 곡률	Digit 2~3 MMC point 연결 곡선의 곡률
	중단부 측면 상축 구간 곡률	Digit 3~4 MMC point 연결 곡선의 곡률
	중단부 측면 하축 구간 곡률	Digit 2~3 PIP joint 연결 곡선의 곡률
각도	중단부 측면 하축 구간 곡률	Digit 3~4 PIP joint 연결 곡선의 곡률
	중단부 측면 하축 구간 곡률	Digit 4~5 PIP joint 연결 곡선의 곡률
	천단부 측면 각도	Handle 방향선 - digit 2~3 내측 단면 중심 연결선 사이 각도
각도	중단부 측면 각도	Digit 2~3 내측 단면 중심 연결선 - digit 3~4 내측 단면 중심 연결선 사이 각도
	후단부 측면 각도	Digit 3~4 내측 단면 중심 연결선 - digit 4~5 내측 단면 중심 연결선 사이 각도

## Hand-handle Interface 분석 예

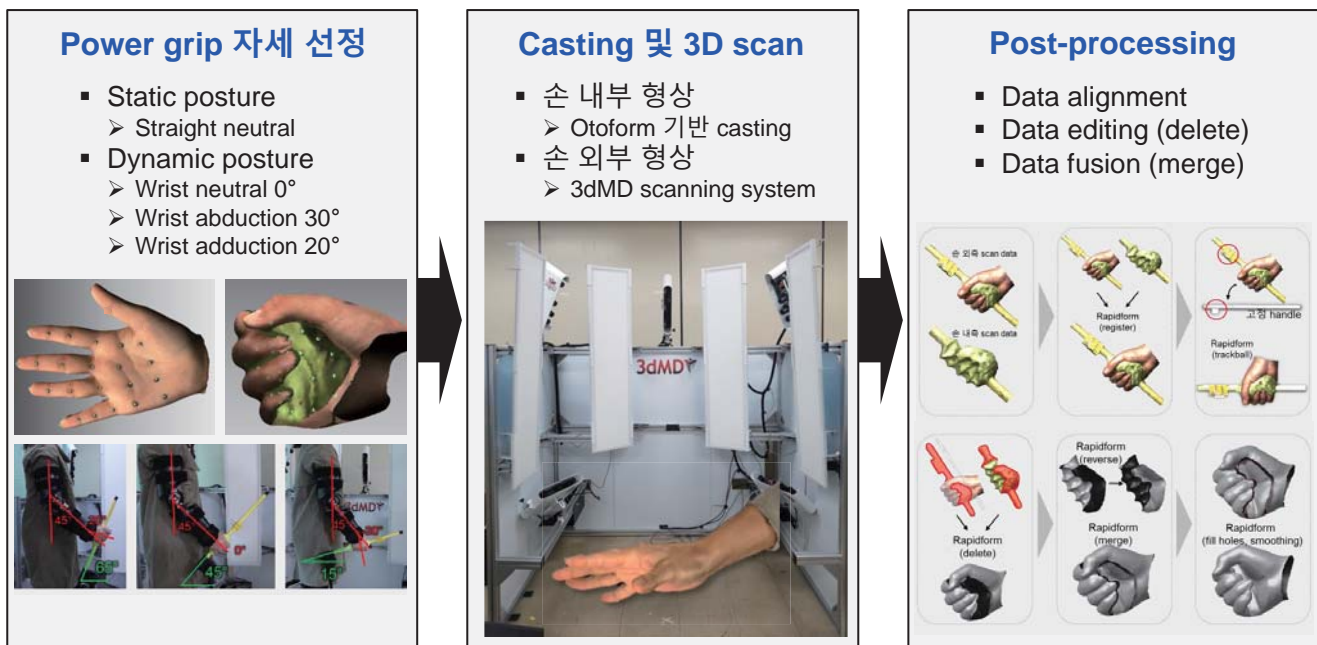
- Handle design dimension에 상응하는 hand dimension이 선정됨

- 단면 너비: tip to DTC/PTC 길이
- 단면 높이: MMC to PIP joint 길이
- 둘레 길이: MMC to tip 둘레길이



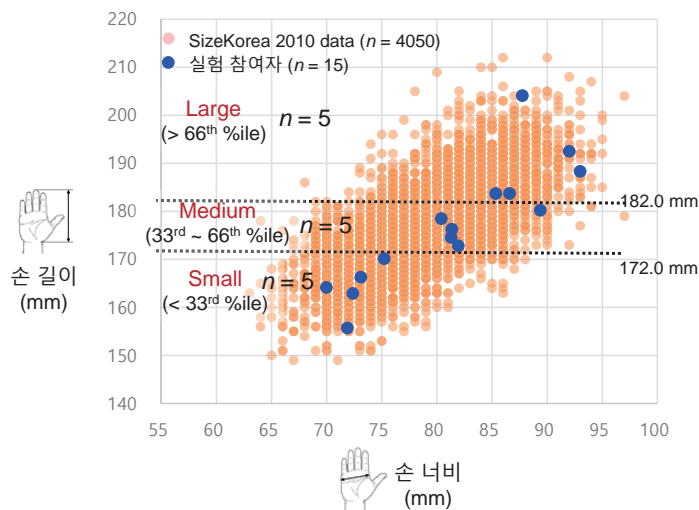
# Power Grip 형상 측정 Protocol

- 3D scanning, casting 방법을 적용하여 다양한 자세별 손 내외측 3차원 형상 측정
- 개별 측정된 3D hand data는 post-processing을 수행하여 fusion data로 통합



## 실험참여자

- 한국인 남녀 20~50대 손 길이 분포를 고려하여 small(< 33rd %ile) 5명, medium(33rd ~ 66th %ile) 5명, large(> 66th %ile) 5명의 실험참여자 모집(2010 SizeKorea 인체측정 data 참조)
  - Age:  $27.2 \pm 8.1$  years
  - Hand length:  $177.9 \pm 12.3$  mm



Subject	Hand size	Hand length	Hand width
S01	L	204.8	86.5
S02	S	164.3	70.1
S03	L	184.3	87.1
S04	M	179.6	81.2
S05	M	181.0	89.0
S06	S	163.6	72.7
S07	M	175.8	81.8
S08	M	177.7	81.9
S09	S	168.4	73.4
S10	L	184.3	85.9
S11	S	157.5	72.1
S12	L	193.0	92.1
S13	S	171.8	75.3
S14	M	173.5	82.1
S15	L	189.5	93.2
Total		177.9	81.6

# Apparatus

## 팔꿈치 보조기



- 팔꿈치 각도 조절 및 고정

## Otoform Casting Material & Pen

- Otoform: hand casting
- Pen: hand landmarking



## Handle 각도 조절기

- Handle 각도 조절기: 손목 각도 조절 및 고정
- 디지털 각도계: 각도 확인

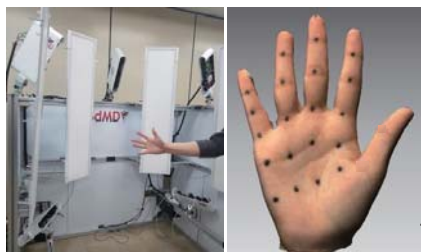


## 3dMD Hand Scanning System

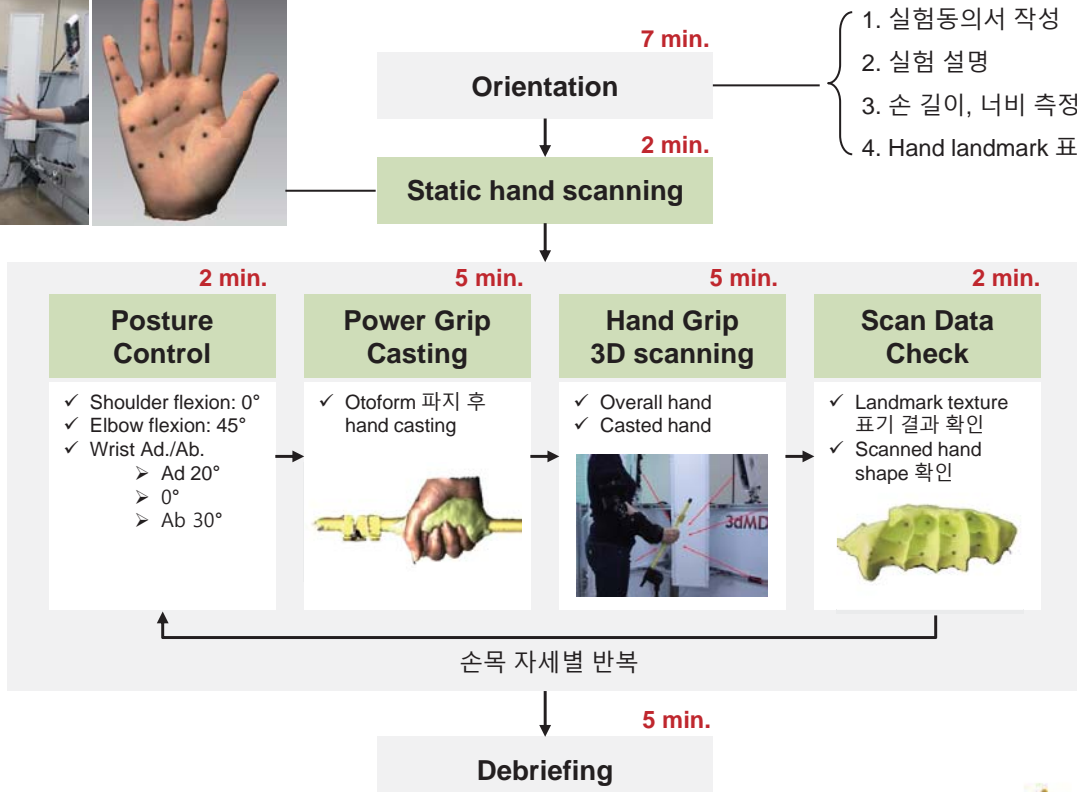


- Hand 3D scanning

# Experimental Procedure



## 소요 시간: 총 1시간



# Power Grip Task

- 각도 조절기에 부착된 casting material을 자연스러운 power grip 자세로 파지함

Casting material (Otoform, Germany)



Power grip 자세 측정 예



## Hand Grip 3D Scanning

- 손을 편 자세, power grip 자세의 손 형상이 3D scanning system을 이용하여 측정됨

Static straight hand



손 전반 형상  
Scan 결과

Power grip overall hand



손 전반 형상  
Scan 결과

Power grip inner hand



손 내부 형상  
Scan 결과

# Hand Data Processing

- Overall hand 및 casting hand는 공통 영역을 기준으로 정렬됨
- Hand 내측 및 외측의 불필요 영역 제거 후 fusion hand data 도출
- Fusion hand의 texture 정보를 기반으로 landmark 삽입

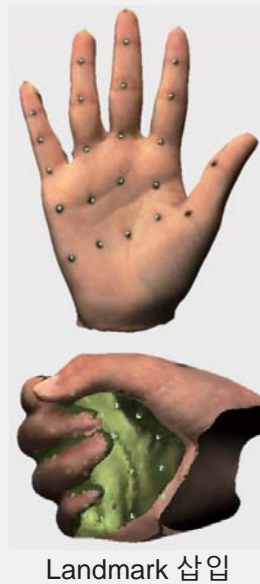
## S1. Hand data alignment



## S2. Hand data fusion



## S3. Landmark 삽입



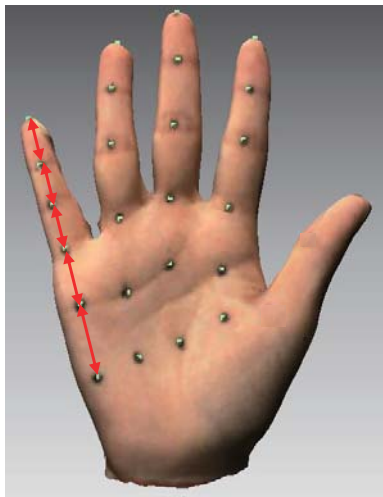
# Hand Fusion 결과 예

Handle angle	Wrist Ad./Ab.	Hand 외측 scan data	Hand 내측 scan data (Otoform)	Fusion 결과
65°	Ad 20°			
45°	0°			
15°	Ab 30°			

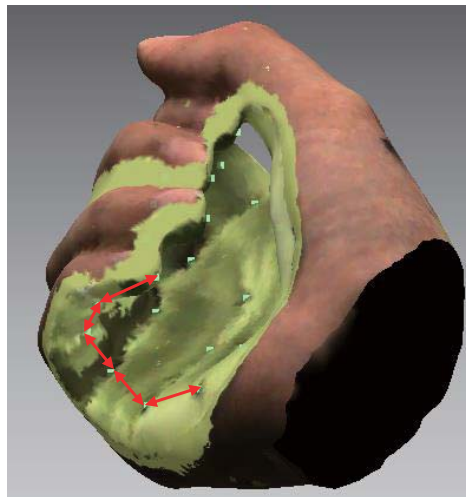
# Power Grip 형상 분석 방법

- Hand landmark(.igs)와 hand fusion data(.ply)를 이용하여 **landmark 간 직선 거리 및 손 표면 거리를 측정**(with Matlab)
- 기본 자세(straight neutral) 및 power grip 자세(Wrist neutral, Ab 20°, Ad 30°) 시 hand dimension 측정

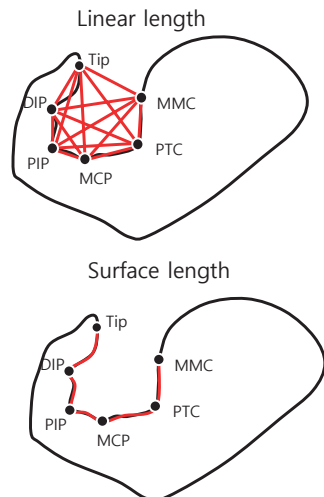
기본 자세(Straight neutral)



Power grip 자세



직선 거리 및 표면 거리



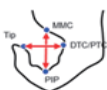
## Power Grip 형상 분석 결과: Static vs. Dynamic

- Static posture 대비 dynamic posture 시 hand dimension 변화율은 손 내부 너비 **64.7%~73.9%**, 높이 **43.1%~54.4%**, 표면 둘레 **29.9% ~ 36.5%**
- Handle grip 시 너비 측면의 길이 변화가 가장 큰 것으로 파악됨

Hand dimension	Handle dimension	Static	Dynamic		
			Ad 20°	0°	Ab 30°
Tip to PTC 직선 거리	 * p<0.05				
		D2*	전단부 전축 단면 너비 <b>30.1</b> <b>66.9% ↓</b>	<b>27.8</b> <b>69.4% ↓</b>	<b>28.3</b> <b>68.9% ↓</b>
		D3*	중단부 전축 단면 너비 <b>30.0</b> <b>69.9% ↓</b>	<b>28.1</b> <b>71.8% ↓</b>	<b>27.3</b> <b>72.6% ↓</b>
PIP to MMC 직선 거리		D4*	중단부 후축 단면 너비 <b>28.1</b> <b>71.5% ↓</b>	<b>26.6</b> <b>73.0% ↓</b>	<b>25.7</b> <b>73.9% ↓</b>
		D5*	후단부 후축 단면 너비 <b>76.6</b> <b>64.7% ↓</b>	<b>26.4</b> <b>65.5% ↓</b>	<b>23.6</b> <b>69.2% ↓</b>
		D2*	전단부 전축 단면 높이 <b>68.6</b> <b>51.6% ↓</b>	<b>33.2</b> <b>50.7% ↓</b>	<b>35.4</b> <b>48.4% ↓</b>
		D3*	중단부 전축 단면 높이 <b>82.3</b> <b>54.1% ↓</b>	<b>37.8</b> <b>51.9% ↓</b>	<b>40.3</b> <b>51.0% ↓</b>
Tip to MMC 표면 거리		D4*	중단부 후축 단면 높이 <b>78.2</b> <b>54.4% ↓</b>	<b>35.7</b> <b>50.8% ↓</b>	<b>37.1</b> <b>52.6% ↓</b>
		D5*	후단부 후축 단면 높이 <b>64.1</b> <b>47.8% ↓</b>	<b>33.4</b> <b>43.1% ↓</b>	<b>33.1</b> <b>48.5% ↓</b>
		D2*	전단부 전축 둘레길이 <b>117.9</b> <b>30.6% ↓</b>	<b>81.8</b> <b>32.5% ↓</b>	<b>79.5</b> <b>32.6% ↓</b>
		D3*	중단부 전축 둘레길이 <b>135.8</b> <b>35.7% ↓</b>	<b>87.3</b> <b>35.8% ↓</b>	<b>86.2</b> <b>36.5% ↓</b>
		D4*	중단부 후축 둘레길이 <b>129.8</b> <b>34.7% ↓</b>	<b>84.7</b> <b>33.6% ↓</b>	<b>83.8</b> <b>35.4% ↓</b>
		D5*	후단부 후축 둘레길이 <b>106.0</b> <b>32.5% ↓</b>	<b>71.6</b> <b>29.9% ↓</b>	<b>69.6</b> <b>34.4% ↓</b>
					Design / Lab

## Power Grip 형상 분석 결과: Neutral vs. Ab/Ad (1/2)

- Wrist neutral ( $0^\circ$ ) 대비 Ad  $20^\circ$  시 손 내부 너비 2.4% ~ 8.4% ↑, 높이 1.9% ~ 8.4% ↓
- Wrist neutral ( $0^\circ$ ) 대비 Ab  $30^\circ$  시 손 내부 너비 2.9% ~ 10.8% ↓, 높이 손 전측(digit 2 ~ 3) 2.0% ~ 4.6% ↑, 후측(digit 4 ~ 5) 3.5% ~ 9.5% ↓

Hand dimension	Handle dimension	Ad $20^\circ$	$0^\circ$	Ab $30^\circ$
 * p<0.05				
Tip to PTC 직선 거리	D2*	전단부 전측 단면 너비 <b>29.4 8.4% ↑</b>	26.9	<b>29.8 1.8% ↑</b>
	D3*	중단부 전측 단면 너비 <b>31.0 6.9% ↑</b>	27.0	<b>27.4 2.9% ↓</b>
	D4*	중단부 후측 단면 너비 <b>28.5 5.6% ↑</b>	25.0	<b>26.8 3.4% ↓</b>
	D5*	후단부 후측 단면 너비 <b>25.6 2.4% ↑</b>	25.5	<b>25.9 10.8% ↓</b>
PIP to MMC 직선 거리	D2*	전단부 전측 단면 높이 <b>37.6 1.9% ↓</b>	32.4	<b>32.3 4.6% ↑</b>
	D3*	중단부 전측 단면 높이 <b>42.0 4.5% ↓</b>	38.3	<b>37.5 2.0% ↑</b>
	D4*	중단부 후측 단면 높이 <b>38.0 7.2% ↓</b>	36.0	<b>37.2 3.5% ↓</b>
	D5*	후단부 후측 단면 높이 <b>34.1 8.4% ↓</b>	33.9	<b>35.0 9.5% ↓</b>

Design  
r Lab

## Power Grip 형상 분석 결과: Neutral vs. Ab/Ad (2/2)

- Wrist  $0^\circ$  대비 Ad  $20^\circ$  시 tip to MMC 표면 거리 digits 4, 5에서 각각 1.8%, 3.6% ↓, Ab  $30^\circ$  시 digits 4, 5에서 각각 2.8%, 6.3% ↓
- Tip to MMC 표면 거리는 손 전측(digits 2, 3)에서는 모든 자세에서 서로 유사
- Tip to MMC 표면 거리는 손 후측(digits 4, 5)에서  $0^\circ$ 에서 가장 크고, Ab  $30^\circ$ 에서 가장 작음

Hand dimension	Handle dimension	Ad $20^\circ$	$0^\circ$	Ab $30^\circ$
 * p<0.05				
Tip to MMC 표면 거리	D2	전단부 전측 둘레길이 <b>78.7 2.8% ↑</b>	78.5	<b>83.7 0.1% ↓</b>
	D3	중단부 전측 둘레길이 <b>85.7 0.2% ↑</b>	86.1	<b>88.8 1.1% ↓</b>
	D4*	중단부 후측 둘레길이 <b>81.5 1.8% ↓</b>	84.7	<b>88.6 2.8% ↓</b>
	D5*	후단부 후측 둘레길이 <b>67.1 3.6% ↓</b>	73.0	<b>75.3 6.3% ↓</b>



## Discussion (1/2)

### □ Hand-handle interface 분석을 통해 주요 hand dimension 선정

- 기존 문헌을 참조하여 hand landmark, hand dimension 정리
- Handle dimension, hand dimension간 연관성 분석, 중요도 평가 수행
- Handle 설계 관련 주요 hand dimension 11종 최종 선정

### □ Power grip 내부 형상 측정 protocol 제안

- 3D scanning 및 casting 방법을 이용한 power grip 내부 형상 측정 방법 제안
- Texture를 포함한 hand fusion data를 이용하여 정밀하게 손 변화 양상이 측정됨

### □ 자연스러운 power grip 자세의 hand fusion data 구축

- 온전한 형태의 손 내측 및 외측 3d scan data가 post-processing에 의해 도출됨
- Digital human model 기술(e.g., template registration)을 이용하여 자세 분석 가능

## Discussion (2/2)

### □ 다양한 손 자세 변화에 따른 손 내측 형상 변화 양상 분석

- 기준 측정 자세(static straight posture) 및 동적 자세(dynamic grip posture) 고려
- 손목 abduction / adduction에 따른 손 내측 형상 변화 분석

### □ 연구 한계점 및 추후 연구

- 손목을 제외한 팔꿈치( $45^\circ$ ), 어깨( $0^\circ$ )가 고정된 상태에서 측정이 수행됨
- 더 많은 실험참여자( $n = 30$ )를 대상으로 손 형상 변화 양상 분석 필요
- 직선길이, 표면길이 외 부피, 체표면적 등의 3차원 dimension에 대한 추가 분석

THANK YOU FOR YOUR ATTENTION



INDUSTRIAL AND MANAGEMENT  
ENGINEERING, POSTECH